

## 半無限領域での波動伝播数値解析のための一つの方法

徳山工業高等 正義。工藤洋三  
山口大学工学部 正義 中川浩二

### 1 はじめに

半無限領域での波動伝播問題を、有限要素法や差分法などの数値解法によって解く場合、有限個の要素によつて領域を近似するため、近似によつて設けられた遠方境界での波の反射により、大きな誤差を生み出すことがある。この遠方境界での波の反射の影響を除去し、無限領域をよりよく近似するための方法として Lysmer の方法が一般によく知られている。

本研究は、砕破などによつて半無限領域における波反射の問題を対象としており、連続という状態が自由境界と固定境界との中间状態にあると考えることにより、自由境界および固定境界両者の状態を重ね合わせ、境界により反射される波の影響を除去しようと試みたものである。

### 2. 一次元問題における反射波の除去

一次元波動伝播問題における上述した方法の意味は明白である。すなわち、自由端における反射波の応答は、入射波のそれに対する符号が並び離反射率が等しく、固定端では符号、離反射率ともに等しいため、これらの平均値をとることにより反射波の影響を除去することができます。

### 3. 二次元問題への拡張

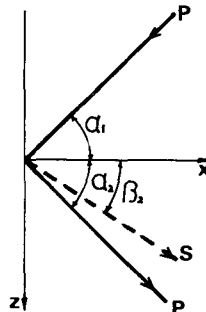
二次元問題においては一次元問題に向けようなどり扱いはできず、入射波として P 波、S 波それぞれについて検討することが必要となる。ここでは正弦波が入射した場合について検討する。

#### 3.1 P 波の入射

Fig. 1 のように  $\alpha_1$  と  $\beta_1$  の角度をもつて P 波が自由面に入射する場合を考える。入射波の波面上に直角変位をもつて  $u_1 = A_1 \sin(pt + f_1 x - g_1 z)$  と表わし、反射波として P 波と S 波をそれぞれ、 $u_2 = A_2 \sin(pt - f_2 x - g_2 z + \delta_1)$ 、 $u_3 = A_3 \sin(pt - f_2 x - g_2 z + \delta_2)$  と表わす。自由面に沿うる境界条件より、入射波の振幅と反射波の振幅の比を求めると次のようになる。

$$\frac{A_2}{A_1} = \frac{2(\sin^2 \beta_1 \sin^2 \beta_2 \cos \delta_1) - \cos^2 2\beta_2 \sin^2 \delta_1}{2(\sin^2 \beta_1 \sin^2 \beta_2 \cos \delta_1) + \cos^2 2\beta_2 \sin^2 \delta_1}$$

$$\frac{A_3}{A_1} = \frac{2 \sin 2\alpha_1 \sin \beta_2 \cos 2\beta_2}{2(\sin^2 \beta_1 \sin^2 \beta_2 \cos \delta_1) + \cos^2 2\beta_2 \sin^2 \delta_1}$$



固定面では境界面が変化が拘束されていることを考慮して、上と同様な方法で振幅比の関係を求めるところとなる。

$$\frac{A_2}{A_1} = \frac{1 - \tan \alpha_1 \tan \beta_2}{1 + \tan \alpha_1 \tan \beta_2}$$

$$\frac{A_3}{A_1} = \frac{-2 \sin \alpha_1 / \cos \beta_2}{1 + \tan \alpha_1 \tan \beta_2}$$

以上の結果を Fig. 2 に示す。図からわかるように、入射角が 35°程度までは反射波の振幅は P 波、S 波と

も、自由面、固定面について絶対値はよく一致し、重ね合わせると反射波はうまく除去されるようである。

この重ね合わせによる方法の合理性を検討するために入射波のモーヴエネルギーに対する重ね合せによって得られた反射波のモーヴエネルギーを考える。入射波、反射波のモーヴエネルギーをそれぞれ、 $E_i, E_r$  で表わし、自由面、固定面における入射波および反射波の重ね合せをとると

$$\frac{E_r}{E_i} = \left( \frac{A_1' + A_1''}{2A_1} \right)^2 + \frac{C_1 \cos \beta_1}{C_2 \cos \alpha_2} \left( \frac{A_2' + A_2''}{2A_2} \right)^2$$

ここに  $C_1, C_2$  は P 波、S 波の速度であり、'、'' はそれぞれ自由面、固定面での反射波を表わす。さらに Lysmer の用いた実験エネルギー比 ( $E_r/E_i$ ) を併せて図に示した。

### 3.2 S 波の入射

P 波の場合と同様な方法で求めた S 波の入射に対する入射波と反射波の振幅比およびエネルギー比を Fig. 3 に示す。なお、入射 S 波に対して反射 P 波を考える場合、反射角が 75° となる臨界入射角が存在し、入射角がこれより大きい場合反射 P 波は存在せず、一種の表面波状発生する。そして表面から内部へのエネルギー伝導は P 波にて、これは行はれないことになる。

### 4 數値計算例

波動伝播問題の解析には空間場に対して有限要素法を、時間場に対して中央差分法を用いた逐次計算法によつた。弾性定数、木アリニス、密度および時間さざみはともに  $E = 2.7 \text{ kg/m}^2, 0.25, 2.6 \text{ ton/m}^3, 0.15 \text{ msec}$  とした。

実際の計算には、上に述べた考え方とともに、逐次計算の一回の時間さざみごとに、境界面における節点の変位を自由境界と固定境界の平均値（事实上自由境界の  $1/2$  とはなる）として計算している。（移動境界法とよぶ）一次元モデルについて、移動境界法、準静的平均によつて方法および Lysmer の方法による結果を Fig. 4 に示す。次に二次元モデルとして直角  $5 \times 5 \text{ m}$  に示すような半無限弾性体表面上に、一次元の場合と同様な過渡集中荷重が作用する場合を考える。図中の A および B の要素中の六方向および二方向の応力成分（吸込みひき）を移動境界法および Lysmer の方法で計算した結果を Fig. 5a ～ 5b に示す。

### 5. 結論

以上の解析によつて、1) 移動境界法は Lysmer の方法と比べて、特に二次元問題では若干誤差が大きくなるが、境界条件の設定が簡単であり、半無限域に対する遠方境界として有用である可能性があると考えられる。

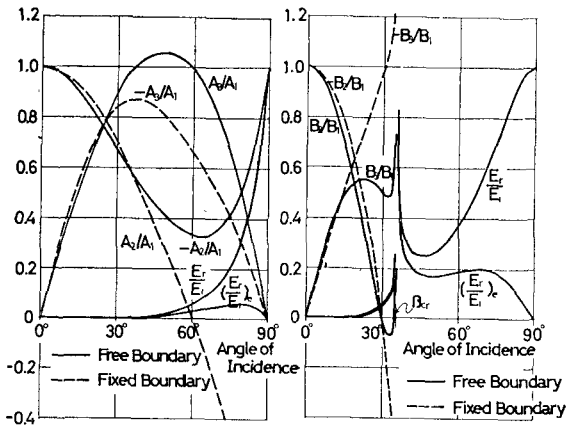


Fig. 2

Fig. 3

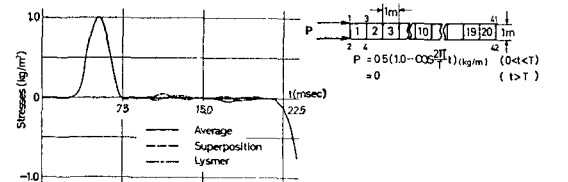


Fig. 4

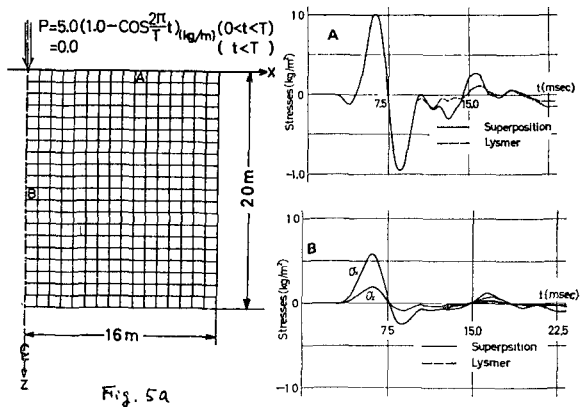


Fig. 5a

Fig. 5b